

Heimat-
Artillerie-
Park II

Archiv-Nr. 110/26 S

Seite 1
Dok. 001
Unter
25.01.1944

T 35

26.6.1944

Auszeichnung

Dr. Klemm

Dr. Klemm

Berechnung thermodynamischer Daten von Feuergasen 2

Der Einfluß verschiedener Zusätze zum Sauerstoffträger
Salpetersäure auf die theoretische Ausströmgeschwindigkeit
(Gasöl bzw. Viscol I als Brennstoff).

Bearbeiter und Berichter:
Dr. Buchner

Abteilungsleiter:
Dipl. Chem. Heller

1297

Aufgabe:

In diesem Bericht soll gezeigt werden, welchen Einfluss ein Zusatz von

1. Wasser
2. Schwefelsäure
3. Stickstofftetroxid

zum Sauerstoffträger Salpetersäure auf die theoretische Ausstoßgeschwindigkeit bei vorgegebenem Brennstoff und vorgegebener Sauerstoffüberschulzzahl λ ausübt. Besonderes Interesse hat ein gleichzeitiger Zusatz von Schwefelsäure und Stickstofftetroxid, bzw. Wasser zur Salpetersäure.

In nachstehender Tabelle 1 sind die in diesem Archivbericht zu bescprechenden Treibstoffkombinationen zusammengestellt (Über die Bedeutung von q und λ siehe Archivbericht 110/258, S.4).

Tabelle 1

Zusammensetzung der in diesen Archivbericht zu bescprechenden Gemische

No.	Arznei- stoff	Bezugssubstanz zur Träger	Wirkstoff zum Sauerstoffträger	100% HNO ₃ - H ₂ O ₂ - H ₂ O	q %	λ
1	Ganz	Salpetersäure	-	-	53,7	0,862
2	"	"	Wasser	-	53,7	0,862
3	"	"	Wasser	10	53,7	0,862
4	"	"	Schwefelsäure	5	53,7	0,862
5	"	"	Schwefelsäure	11	53,7	0,862
6	"	"	Schwefelsäure	15	53,7	0,862
7	"	"	Stickstofftetroxid	20	53,7	0,862
8	"	"	Stickstofftetroxid	40	53,7	0,862
9	"	50 G% HNO ₃ 50 G% N ₂ O ₄	-	-	55,6	0,80
10	"	50 G% HNO ₃ 50 G% N ₂ O ₄	Wasser	5	55,6	0,80
10	"	50 G% HNO ₃ 50 G% N ₂ O ₄	Wasser	10	55,6	0,80

11	50 % HNO ₃	Wasser/Lösung	5	22,0	0,30
12	" 70 % HNO ₃	Wasser/Lösung	10	22,0	0,30
13	90 % HNO ₃	-	-	24,0	0,30
14	" 50 % HNO ₃ 10 % H ₂ SO ₄	Wasser	10	22,0	0,30
15	" 50 % HNO ₃ 10 % H ₂ SO ₄	Weber	10	22,0	0,30
16	" 90 % HNO ₃ 10 % H ₂ SO ₄	Pressit	10	22,0	0,30
17	" 90 % HNO ₃ 10 % H ₂ SO ₄	Siliciumdioxid	20	22,0	0,30
18	" 90 % HNO ₃ 10 % H ₂ SO ₄	Siliciumkarbonat	10	22,0	0,30

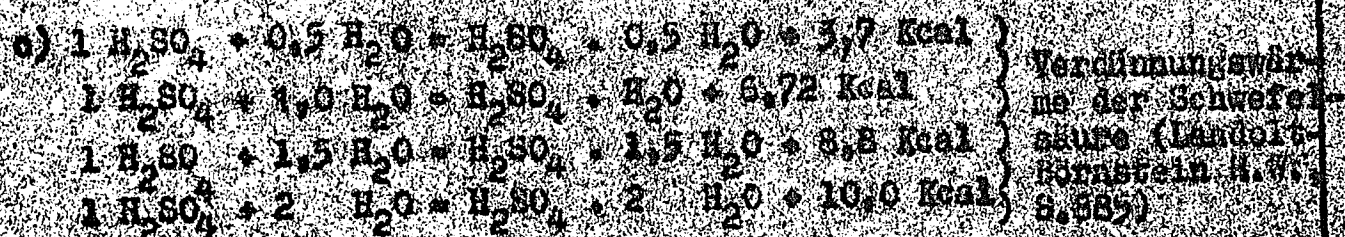
Zur Bezeichnung der Abgaszusammensetzung wird den zentralen Werte des Gasstromes mit 10/100 und 10/1000 (vgl. Archiv-Bericht Nr. 10/20, S.4) und der des Viscor 1 (Kernvit-Ventil 1500) mit 100/1000 und 100/10000 konstante Konzentrationswerte des Gas-Luft-Mischganges eingesetzt.

Unter dem Einflussverlust ist die Verlustrate (vgl. Archiv-Bericht Nr. 10/20, S.4) sind noch folgende Beziehungen erhebliche Gleichungen für Verlustreduktion von Bedeutung:

a) Verdampfungswärme der Säurelösung (Landsolt-Gesetz, 1903, S.39)



b) $\text{H}_2\text{CO}_3 \rightarrow (\text{CO}_2)_{\frac{1}{2}} + 1/2 (\text{O}_2)_{\frac{1}{2}} + (\text{H}_2\text{O})_{\frac{1}{2}} = 65,381 \text{ kcal}$ (vgl. Landsolt-Gesetz, H.W.S.853 und F. Wagner, Archiv-Bericht Nr. 20/196)



Zur Berechnung der Verdunstungswärme von Mischsäure kann man sich den Wasserausstoß zur Mischsäure in zwei Teilvergängen vorstellt denken:

1.) Die gesamtmolare zugesetzten Wassermoleküle (ca. 10 Gew.% des Sauerstofftrifluorids) verteilen die vorhandene Menge Sauerstoff (ca. 10 Mol-% des Sauerstofftrifluorids), welche im Vergleich zum Sauerstoff eine 50 %ige Säure erzeugt und die Wärmeabfuhr begünstigt.

2.) Nach dem Abschmelzen denkt man sich die verbleibende Menge Wasser der Sauerstoffsäure (den restlichen 50 Gew.% des Sauerstofftrifluorids) zugesetzt. Sie durch orientierende Versuche festgestellt wurde, daß dabei normale Siedeverdunstung auftritt. Zur Berechnung von T_2 wurde die halbe Verdunstungswärme der Sauerstoffsäure in Rechnung gestellt. Mischsäure
 $= 50\%$

d) $\frac{1}{2} \text{ N}_2\text{O}_3 (\text{f}) \rightarrow \frac{1}{2} \text{ N}_2 (\text{Gas}) + \text{O}_2 (\text{Gas}) - 2,6 \text{ Kcal}$ (nach Herstellungstemperatur 2, 105). Unberücksichtigt bleibt die Wärmetönung bei der Umwandlung von Stickstofftrifluorid zu Sauerstoffsäure und zu Mischsäure, weil sie geringe Laborversuchsergebnisse ist.

Die Mischwärme bei einem Zusatz von Wasser zu einem Sauerstofftrifluorid aus 50 Gew.% Sauerstoffsäure und 50 Gew.% Stickstofftrifluorid unterscheidet sich nicht von der Wärme der Schmelze und Verdunstungswärme der Sauerstoffsäure, weil die Schmelze und Verdunstungswärme der Sauerstoffsäure bei der Umwandlung von Stickstofftrifluorid zu Sauerstoffsäure und zu Mischsäure verschwindet.

Dies imminente liegt die Annahme zu Grunde, daß die eingesetzte Wassermenge bei der Verdunstungswärme der Sauerstoffsäure und bei der Verdunstungswärme der Mischsäure verschwindet. Dies ist nicht der Fall, da die Verdunstungswärme der Sauerstoffsäure bei der Umwandlung von Stickstofftrifluorid zu Sauerstoffsäure und zu Mischsäure verschwindet, während die Verdunstungswärme der Mischsäure verschwindet. Dies ist nicht der Fall, da die Verdunstungswärme der Sauerstoffsäure bei der Umwandlung von Stickstofftrifluorid zu Sauerstoffsäure und zu Mischsäure verschwindet, während die Verdunstungswärme der Mischsäure verschwindet.

Die Resultate der Berechnungen sind in Tabelle 2 zusammengestellt.
Diese enthält folgende Rubriken:

1. NZ. des Gemisches (vgl. Tabelle 1)

2. Brennstoffäquivalenzzahl q in %

Diese Zahl, die für den Chemiker besonders anschaulich ist, zeigt an, ob das vorliegende Gemisch ein solches mit Brennstoffüberschuss oder mit Sauerstoffüberschuss ist. Äquivalentgemische haben die Brennstoffäquivalenzzahl 50 %. Zu Gemischen mit Sauerstoffüberschuss gehören Brennstoffäquivalenzzahlen, die größer als 50 % sind.

3. Mischungsverhältnis n

Das Mischungsverhältnis n ist gleich dem Quotienten aus der Gewichtsmasse Brennstoff und der Gewichtsmasse Sauerstoffträger. Während q eine rein chemische Charakterisierung gibt, ist die Zahl n für den Techniker notwendig, da sie das Verhältnis von unmittelbar messbaren Größen darstellt.

4. Zusammensetzung des Sauerstoffträgers im Gemisch

5. Ausklauszahl 1 bezogen auf 1 Atom Kohlenstoff

Das Ausgangsgemisch ist die linke Seite der Verbrennungsgleichung, die für ein Gramm-Atom Kohlenstoff (12,0 g Kohlenstoff) aufgestellt wird.

6. Gesamtmasse in g/Verbrennungsgleichung

Die Gesamtmasse der an der Verbrennung beteiligten Stoffe errechnet man aus der Ausgangsgleichung unter Einsatz der Molekulargewichte der Reaktionspartner, wie sie in Rubrik 5 formuliert sind. Die Gesamtmasse wird benötigt, wenn Angaben, die sich auf die Verbrennungsgleichung beziehen, auf die Gewichtseinheit 1 kg umgerechnet werden sollen.

7a. Molzahlsomme Σn_i ohne Berücksichtigung der Dissociation, (siehe mit Tabell 2)

In dieser Zahl sind die Molzahlen der Teilnehmer des Wassergaseleichgewichtes, sowie die Molzahl des Stickstoffes und gegebenenfalls die der bei der Verbrennung entstehenden Schwefeldioxyds enthalten. Dividiert man die Gesamtmasse (Rubrik 6) durch diese Molzahlsomme, so erhält man das Durchschnittsmolekulargewicht M_{d} ohne Berücksichtigung der Dissociation (s. o. Spalte 5).

Tabelle 2

Wichtigste thermodynamische Daten zur Berechnung der theoretischen Ausströmgeschwindigkeit W_{theo} für die Gemische 1 bis 19.

Nr.	q	Z.	m	Zusammensetzung des Sauerstoffträgers (Gew.-%)	Brennstoff: Gasöl		Ausgangsgemisch bezogen auf 1g-Atom Kohlenstoff Gesamtmasse g/M.G.	M_o	Ausgangsenthalpie J_o (Kcal/kg)
					4.	5.			
0	53,7	0,220	100 % HNO ₃	CH _{1,8} + HNO ₃	CH _{1,8} + 0,1841 H ₂ O + HNO ₃	80,15	26,49	1631,0	
1	53,7	0,208	95 % HNO ₃ + 5 % H ₂ O	CH _{1,8} + HNO ₃ + 0,3387 H ₂ O	83,83	26,42	1529,7		
2	53,7	0,197	90 % HNO ₃ + 10 % H ₂ O	CH _{1,8} + HNO ₃ + 0,30334 H ₂ SO ₄	79,27	25,49	1427,7		
3	53,7	0,211	95 % HNO ₃ + 5 % H ₂ SO ₄	CH _{1,8} + 0,9868 HNO ₃ + 0,0334 H ₂ SO ₄	82,45	26,84	1556,1		
4	53,7	0,201	89 % HNO ₃ + 11 % H ₂ SO ₄	CH _{1,8} + 0,9694 HNO ₃ + 0,077 H ₂ SO ₄	84,74	27,27	1464,2		
5	53,7	0,195	85 % HNO ₃ + 15 % H ₂ SO ₄	CH _{1,8} + 0,9568 HNO ₃ + 0,1085 H ₂ SO ₄	75,65	27,57	1402,1		
6	53,7	0,223	80 % HNO ₃ + 20 % N ₂ O ₄	CH _{1,8} + 0,7851 HNO ₃ + 0,1344 N ₂ O ₄	74,51	26,83	1683,6		
7	53,7	0,228	60 % HNO ₃ + 40 % N ₂ O ₄	CH _{1,8} + 0,5779 HNO ₃ + 0,2639 N ₂ O ₄	74,51	27,18	1735,3		
8	55,6	0,247	50 % HNO ₃ + 50 % N ₂ O ₄	CH _{1,8} + 0,4428 HNO ₃ + 0,3033 N ₂ O ₄	69,62	26,31	1878,6		
9	55,6	0,235	47,5 % HNO ₃ + 47,5 % N ₂ O ₄ + 5 % H ₂ O	CH _{1,8} + 0,4428 HNO ₃ + 0,3033 N ₂ O ₄ + 0,1630 H ₂ O	72,56	25,83	1769,4		
10	55,6	0,223	45,0 % HNO ₃ + 45 % N ₂ O ₄ + 10 % H ₂ O	CH _{1,8} + 0,4428 HNO ₃ + 0,3033 N ₂ O ₄ + 0,3442 H ₂ O	75,82	25,36	1661,2		
11	55,6	0,238	47,5 % HNO ₃ + 47,5 % N ₂ O ₄ + 5 % H ₂ SO ₄	CH _{1,8} + 0,4372 HNO ₃ + 0,2994 N ₂ O ₄ + 0,0296 H ₂ SO ₄	71,81	26,64	1795,6		
12	55,6	0,229	45 % HNO ₃ + 45 % N ₂ O ₄ + 10 % H ₂ SO ₄	CH _{1,8} + 0,4310 HNO ₃ + 0,2952 N ₂ O ₄ + 0,0615 H ₂ SO ₄	74,16	26,98	1711,9		
Brennstoff: Visol 1									
13	54,0	0,254	90 % HNO ₃ + 10 % H ₂ SO ₄	CH _{2,0} ,167+0,9385 HNO ₃ + 0,067 H ₂ SO ₄	82,40	26,82	1484,7		
14	54,0	0,241	85,5 % HNO ₃ + 9,5 % H ₂ SO ₄ + 5 % H ₂ O	CH _{2,0} ,167+,0,9385 HNO ₃ +0,067 H ₂ SO ₄ +0,1919 H ₂ O	85,86	26,30	1387,5		
15	54,0	0,229	81 % HNO ₃ + 9 % H ₂ SO ₄ + 10 % H ₂ O	CH _{2,0} ,167+,0,9385 HNO ₃ +0,067 H ₂ SO ₄ +0,4052 H ₂ O	89,70	25,79	1296,5		
16	54,0	0,216	76,5 % HNO ₃ + 8,5 % H ₂ SO ₄ + 15 % H ₂ O	CH _{2,0} ,167+,0,9385 HNO ₃ +0,067 H ₂ SO ₄ +0,6436 H ₂ O	94,00	25,30	1205,9		
17	54,0	0,259	81 % HNO ₃ + 9 % H ₂ SO ₄ + 10 % N ₂ O ₄	CH _{2,0} ,167+,0,8294 HNO ₃ +0,0592 H ₂ SO ₄ +0,0701 N ₂ O ₄	81,21	26,91	1523,8		
18	52,5	0,248	72 % HNO ₃ + 8 % H ₂ SO ₄ + 20 % N ₂ O ₄	CH _{2,0} ,167+,0,7693 HNO ₃ +0,0549 H ₂ SO ₄ +0,1463 N ₂ O ₄	84,02	27,77	1480,7		
19	54,0	0,273	54 % HNO ₃ + 6 % H ₂ SO ₄ + 40 % N ₂ O ₄	CH _{2,0} ,167+,0,5246 HNO ₃ +0,0375 H ₂ SO ₄ +0,2661 N ₂ O ₄	77,91	27,19	1643,1		
* 6a (o)	Nr. Σ_n	6a (o)	Nr. Σ_n	6a (o)	Nr. Σ_n	6a (o)	Nr. Σ_n	6a (o)	Nr. Σ_n
0 2,900	4 2,022	8 2,646	12 2,749	16 3,716					
1 2,034	5 3,074	9 2,809	13 3,073	17 3,018					
2 3,289	6 2,820	10 2,990	14 3,264	18 3,025					
3 2,954	7 2,742	11 2,696	15 3,478	19 2,866					

Fortsetzung Tabelle 2

Nr.	J, 2000°	J(T ₁ , T ₂)	T ₁ °K	T ₂ °K	T = 3000°K				p ₁ /p ₂ = 16,1	p = 16 atd. T ₀ = 1 eta	p = 16 atd. T ₀ = 100	p = 20 atd. T ₀ = 1 eta
					T ₁ °K	J(T ₁ , p ₁)	S(T ₁ , p ₁)	S(T ₂ , p ₂)				
0	987,4	1401,6	1629,6	3000	1679,6	+ 0,0592	2220	+ 0,0595	1120,4	2150	552,0	2966
1	999,5	1398,7	1690,5	2900	1569,3	+ 0,0450	2100	+ 0,0362	1013,4	2100	526,5	2864
2	1051,8	1510,8	1716,1	2700	1454,2	- 0,0452	1800	- 0,0483	960,6	2003	479,2	2560
3	970,5	1419,1	1637,6	2900	1536,3	+ 0,0234	2100	+ 0,0322	1035,4	2094	523,9	2920
4	950,7	1393,3	1620,2	2800	1426,9	- 0,0049	2000	+ 0,0059	962,5	2029	496,7	2844
5	936,1	1376,2	1591,3	2800	1403,9	- 0,0060	2000	+ 0,0056	947,3	2003	479,3	2798
6	983,5	1428,9	1640,6	3000	1610,6	+ 0,0329	2100	+ 0,0318	1048,3	2163	558,8	3036
7	979,5	1417,0	1616,7	3100	1724,3	+ 0,0842	2300	+ 0,0875	1167,4	2180	562,3	3110
8	1175,3	1613,5	1659,0	3100	1859,3	+ 0,0548	2200	+ 0,0544	1289,0	2191	573,6	3124
9	1165,1	1614,1	1727,9	3000	1727,9	+ 0,0296	2100	+ 0,0297	1225,7	2149	551,7	2990
10	1154,2	1616,0	1791,9	2900	1700,3	+ 0,0043	2000	+ 0,0046	1163,4	2097	525,4	2862
11	1152,2	1587,7	1727,7	3100	1829,3	+ 0,0555	2200	+ 0,0539	1265,1	2148	550,9	3062
12	1130,7	1563,3	1710,8	3000	1710,8	+ 0,0259	2100	+ 0,0281	1188,2	2102	527,5	3000
13	975,1	1426,3	1645,1	2800	1453,6	- 0,0072	2000	+ 0,0056	986,5	2049	501,6	2834
14	974,1	1434,4	1669,1	2700	1385,7	- 0,0349	1800	- 0,0473	884,8	2003	479,3	2703
15	973,1	1444,3	1697,1	2600	1322,5	- 0,0619	1700	- 0,0765	832,7	1955	456,5	2567
16	970,7	1453,4	1717,7	2500	1258,5	- 0,0898	1700	- 0,0782	827,0	1907	434,4	2422
17	976,5	1424,3	1646,8	2900	1544,7	+ 0,0248	2100	+ 0,0324	1042,6	2071	512,2	2877
18	840,6	1281,5	1559,8	2900	1458,6	+ 0,0522	2100	+ 0,0529	948,1	2082	518,0	2923
19	931,3	1420,5	1633,5	3000	1633,5	+ 0,0545	2200	+ 0,0595	1105,8	2129	541,2	3009

7. Durchschnittsmolekulargewicht M_0 (ohne Berücksichtigung der Dissoziation).

Diese Größe erlaubt eine Abschätzung der Ausströmgeschwindigkeit (nach St.Venant und Wantzel). M_0 dient ferner zur Entropieberechnung für Drucke, die von 1 atm verschieden sind.

8. Ausgangsenthalpie J_0 in Kcal/kg

Die Ausgangsenthalpie setzt sich aus dem unteren Heizwert des Brennstoffes, den Zersetzungswärmern und gegebenenfalls den Verdünnungswärmern der sich an der Verbrennung beteiligenden Stoffe zusammen. Sie ist der Ausdruck für die Energie, die in dem betrachteten System enthalten ist. Von ihr sind insbesondere die Verbrennungstemperatur T_1 , die Ausströmenergie ΔJ und die theoretische Ausströmgeschwindigkeit w_{th} abhängig.

9. Enthalpie J' (2000) ohne Dissoziation

Auf dieser Enthalpie kann man sich die Enthalpien für andere Temperaturen und Drucke aufgebaut denken. Sie ist der Grundwert, zu dem noch Enthalpiebeträge addiert werden müssen, in denen die Temperaturerhöhung und die Dissoziation berücksichtigt sind.

10. Enthalpie J' (T^*) ohne Dissoziation

In der Größe J' (T^*) ist der Temperaturanteil bei der Erhöhung der Temperatur von 2000°K auf eine Rechentemperatur T^* , die in der Nähe der Verbrennungstemperatur liegt, berücksichtigt.

11. Enthalpie J (T^* , p^*) mit Dissoziation

Diesem Wert liegt eine vollständige thermodynamische Berechnung mit allen Dissoziationsgleichgewichten zu Grunde. Diese Rechnung wird bei einer Rechentemperatur T^* und bei einem Rechendruck p^* durchgeführt. Er dient zur Berechnung der weiteren Rechengrößen.

12. Anleittemperatur T_1

Dieser Temperaturwert, der in Schritten von 100° berechnet wird, soll der tatsächlichen Verbrennungstemperatur möglichst nahe kommen.

13. Enthalpie J (T_1 , p_1) (mit Dissoziation)

Diese Größe wird aus dem unter 12 genannten Wert für die Temperatur T_1 und dem Heizbehälterdruck p_1 , der durch die jeweilige Aufgabenstellung gegeben ist, nach dem Verfahren von C.Wagner (Archiv-Bericht Nr. 20/15g) berechnet.

14. Entropie $S(T_1, p_1)$ (mit Dissoziation)

Die Entropie $S(T_1, p_1)$ ist die Zustandsgröße, welche die Arbeitsfähigkeit des Arbeitsmediums im Ausgangsstadium charakterisiert. Sie lässt sich aus der zugehörigen Enthalpie $J(T_1, p_1)$ berechnen.

15. Angleichtemperatur T_2

Dieser Temperaturwert, der ebenso wie T_1 in Schritten von 100° berechnet wird, soll der tatsächlich theoretischen Entspannungstemperatur möglichst nahe kommen; zu ihrer Bestimmung ist die folgende Größe notwendig.

16. Entropie $S(T_2, p_a)$ (mit Dissoziation)

Die Entropie $S(T_2, p_a)$ charakterisiert den Zustand (Arbeitsfähigkeit) im Endstadium der Entspannung auf den Austrittsdruck p_a . In diesem Zustand ist eine Umwandlung von potentieller Energie in kinetische erfolgt. Da dieser Vorgang adiabatisch erfolgt, muss die Entropie unverändert bleiben. Die Entropie $S(T_2, p_a)$ liegt in der Nähe vom tatsächlichen theoretischen Wert und damit auch vom Wert $S(T_1, p_1)$.

17. Enthalpie $J(T_2, p_a)$ (mit Dissoziation)

Diese Größe ist angennahrt die Enthalpie der entspannten Gase. $J(T_2, p_a)$ ist für die Temperatur T_2 berechnet, die weniger als 50° von der wahren Entspannungstemperatur verschieden ist.

18. Theoretische Ausströmgeschwindigkeit v_{th}

Diese Größe ist das Ergebnis der gesamten Rechnung. Sie ist ein Ausdruck für die Leistungsfähigkeit einer Treibstoffkombination.

19. Ausströmenegie ΔJ

Diese Größe stellt die während der Entspannung in kinetische (= Strömungs-) Energie umgewandelte Enthalpiemenge dar. Sie wird aus den bisher genannten Größen nach folgender einfacher Formel berechnet.

$$\Delta J = J(T_1, p_1) - J(T_2, p_a)$$

$$+ [J_0 - J(T_1, p_1)] \cdot \frac{T_1 - T_2}{T_1}$$

$$\longrightarrow T_2 \cdot [S(T_1, p_1) - S(T_2, p_a)].$$

20. Theoretische Verbrennungstemperatur T_1

1305

Die Rechenergebnisse werden am besten an Hand der Kurvenblätter erörtert.

Zur übersichtlichen Darstellung werden die interessierenden Größen w_{ath} und T_i , sowie die Hilfsgrößen, deren Einfluß auf den Wert von w_{ath} und T_i studiert wurde, in Abhängigkeit von der Anzahl Gew.% zugesetzten Wassers, Schwefelsäure, bzw. Stickstofftetroxyds aufgetragen.

So enthält:

Kurvenblatt 1:

Die Ausgangsenthalpie J_o , die Enthalpie $J(T^*, p^*) = J(3000^\circ, 16 \text{ atm})$ in Kcal/kg und das Molgewicht M_o bei der Treibstoffkombination Gasöl + Salpetersäure als Funktion der zugesetzten Menge (in Gew.% des Sauerstoffträgers) Wasser, Schwefelsäure und Stickstofftetroxyd; die Brennstoffäquivalentanzahl q beträgt 53,7%.

Kurvenblatt 2:

Die theoretische Ausströmgeschwindigkeit w_{ath} in m/sec und die Verbrennungstemperatur T_i ($^\circ\text{K}$) bei der Treibstoffkombination Gasöl + Salpetersäure als Funktion der zugesetzten Menge (in Gew.% des Sauerstoffträgers) Wasser, Schwefelsäure und Stickstofftetroxyd; $q = 53,7$, Lastspannungsverhältnis 16:1.

Aus den Kurvenblättern 1 und 2 abzulesende Ergebnisse:

1.) Wasserzusatz

Ein Wasserzusatz, auch der kleinste Wasserzusatz, wirkt sich auf die Ausströmgeschwindigkeit w_{ath} stark erniedrigend aus. Ursache hierfür sind hauptsächlich 2 Gründe:

Die Verdampfungswärme des Wassers ist hoch; diese sowie zusätzlich die Verdunstungswärme werden bei der Berechnung der Ausgangsenthalpie J_o in Abzug gebracht (vgl. J_o für die Gemische Nr. 1 und 2, 8, 9 und 10, sowie 13, 14, 15 mit 16). Durch Erniedrigung von J_o werden auch T_i und w_{ath} kleiner.

Der 2. Grund für den Leistungsabfall bei Wasserzusatz ist die Tatsache, daß Wasser Teilnehmer des im Brennstoffüberschulgebiet wichtigen Wasserstoffgleichgewichtes ist. Dieses wird durch den Wasserzusatz weitgehend verschoben, wie dies in Tabelle 3 geschieht. Die Wärmekapazität der Feuergase $\bar{L} = [J'(3000) - J'(2000)]$: 1000 wächst mit steigendem Wasserzusatz. Damit wachsen auch die Enthalpien $J(T^*, p^*)$.

Tabelle 3

Wasserangliegungswert und Einfluß der ohne Berücksichtigung
der Dissoziation für die Konz. 0, 1 und 2. $\alpha = 53,7\%$

Nr.	α_{H_2}	P_{CO_2}	P_{CO}	α_{H_2O}	α_{H_2O}	P_{CO_2}	α_{H_2O}	α_{H_2O}	Gew. %	α
0	2000	0,715	0,287	1,237	0,145	0,724	75,04	75,04	10	0,440
0	3000	0,694	0,276	1,216	0,162	0,696	74,46	74,46	10	0,440
1	2000	0,724	0,276	1,150	0,145	0,724	78,51	78,51	10	0,444
1	3000	0,694	0,306	1,140	0,144	0,696	78,52	78,52	10	0,444
2	2000	0,722	0,258	1,157	0,152	0,593	80,82	80,82	10	0,442
2	3000	0,700	0,248	1,167	0,162	0,590	80,76	80,76	10	0,442

Auf den Wasserangliegungswert kann durch Variation des Partialdrucks des Wasserdampfes die Dissoziation weiter abgesenkt werden. Bei gleichbleibenden molekularen Zusammensetzen (CO₂: H₂O = 1:1) ändert sich $J(\alpha, \alpha')$ bei gleichzeitigen Abnahmen von α_{H_2} in folgender Weise:

Wasserangliegungswert

Bei einem konstanten Partialdruck kann durch Variation des Partialdrucks des Wasserdampfes die Dissoziation weiter abgesenkt. Die Wasserangliegung wird um 50% erhöht durch die Verwendung des Dissoziationsgrades α plus (73,7 - α) statt α (0,1 oder 0,2). Beide Parameter müssen auch entsprechend variiert werden, wenn ein Gleichgewicht zwischen den Dissoziationsgraden α und α' (Gleichheit) bzw. dem Dissoziationsgrad α und dem Partialdruck P_{CO_2} erreicht wird. Wenn der Partialdruck des Wasserdampfes auf Null gesetzt wird, infolge des Volumeneffektes (gasfrei) kann die Dissoziation nicht mehr fortgeschreiten. Es kommt zu einem Gleichgewicht zwischen α und α' . Die Wasserangliegung ist hierbei um 50% höher als bei einem Gleichgewicht zwischen α und P_{CO_2} . Unter diesen Bedingungen ist die Dissoziation so stark abgesenkt, daß sie praktisch ausgeschaltet ist. Ein Gleichgewicht zwischen α und P_{CO_2} kann nicht mehr erreicht werden, wenn der Partialdruck des Wasserdampfes auf Null gesetzt wird.

Schwefelsäurezusatz von 7 Gew.% ab, hin zu größeren Zusätzen liegt der w_{th} -Wert stets oberhalb des Wertes mit gleichem Wasserzusatz.

3.) Stickstofftetroxydzusatz

Ein Zusatz von Stickstofftetroxyd zur Salpetersäure erhöht die theoretische Ausströmgeschwindigkeit. Der Anstieg, der für 40 %igen Zusatz von Stickstofftetroxyd etwa 1,4 % beträgt, ist fast linear.

Kurvenblatt 3:

Ausgangsenthalpie J_0 , Enthalpie $J(3000^\circ, 16 \text{ ata})$ in Kcal/kg und Molgewicht M_0 bei der Treibstoffkombination Gasöl + (50 Gew.% HNO_3 + 50 Gew.% N_2O_4) als Funktion der zugesetzten Menge Wasser und Schwefelsäure in Gew.% des Sauerstoffträgers, $q = 55,6 \%$.

Kurvenblatt 4:

Theoretische Ausströmgeschwindigkeit w_{th} in m/sec und Verbrennungs-temperatur T_i ($^\circ\text{K}$) bei der Treibstoffkombination Gasöl + (50 % HNO_3 + 50 % N_2O_4) als Funktion der zugesetzten Menge Wasser und Schwefelsäure in Gew.% des Sauerstoffträgers, $q = 55,6 \%$, $p_i : p_a = 16:1$.

Aus den Kurvenblättern 3 und 4 abzulesende Ergebnisse:

1.) Wasserzusatz

Die einzelnen thermodynamischen Kenngrößen J_0 , $J(T^*, p^*)$, M_0 , T_i und w_{th} zeigen die gleiche Tendenz wie bei der durch Wasser-, Schwefelsäure- bzw. Stickstofftetroxyd-Zusatz variierte Treibstoffkombination Gasöl und Salpetersäure (Kurvenblatt 1 und 2). Auffallend ist hier der fast lineare Abfall von M_0 im Gegensatz zu vorstehend aufgeführten Treibstoffkombinationen. Die Erniedrigung von M_0 bei Wasserzusatz wird durch die Anwesenheit einer größeren Menge von Gasen mit niedrigem Molgewicht bewirkt (H_2O , H_2 , gegenüber CO_2 und CO usw.).

2.) Schwefelsäurezusatz

Auch bei diesen Treibstoffkombinationen fällt der starke Anstieg von M_0 auf, der hier im Gegensatz zur variierten Treibstoffkombination Gasöl - Salpetersäure nicht linear verläuft. Der Anstieg von M_0 ist durch die Anwesenheit des Schwefeldioxyds in den Verbrennungsgasen bedingt und erklärt den für kleine Schwefelsäuremengen im Vergleich zu gleichen Wassermengen größeren Abfall der theoretischen Ausströmgeschwindigkeit.

aus der Kurventafel 5 kann man entnehmen, daß $\delta(3000^\circ, 16 \text{ atu})$ des abgängigen Salpeterstoffs um so höher ist, je höher die Temperatur und desto niedriger der Druck ist. Es ist also eine Abhängigkeit der Verdunstungstemperatur T_v von den Volumenparametern.

Aus der Kurventafel 5 wird man entnehmen, daß $\delta(3000^\circ, 16 \text{ atu})$ des abgängigen Salpeterstoffs um so höher ist, je höher die Temperatur und desto niedriger der Druck ist. Der Abfall der zugehörigen Verdunstungstemperatur T_v ist jedoch so groß, daß im Einflußfeld des Abgängen-Salpeterstoffs eine Konkavität der Verdunstungskurve T_v beobachtet wird.

Kurventafel 5:

Abgängen-Salpeterstoff: $\delta(3000^\circ, 16 \text{ atu})$ in $\text{m}^2/\text{mol}/\text{K}$ und Gleichgewicht μ_g bei der Freibutat-Kombination $\text{Visol} + \text{HNO}_3$ Salpeter ist praktisch der eingesetzten konzentrierten Salpeterkonzentration in Gew. \% des Salpeterverdampfers, $\approx 54,0 \%$.

Kurventafel 6:

Die direkte Ausströmungskurve $\delta(3000^\circ, 16 \text{ atu})$ der Verdunstungstemperatur T_v (K) bei der Freibutat-Kombination $\text{Visol} + \text{HNO}_3$ Salpeter ist abhängig von der eingesetzten Menge Wasser und Salpeterkonzentration Gew. \% des Salpeterverdampfers; $\mu_g = 54,0 \%$, $\text{p}_1 = 16 \text{ atu}$.

Der Wert von μ_g für Salpeter wird auf $0,0 \text{ atu}$ auf 2000° K umgerechnet und es in die Diagramme eingetragen. Wird ein Übergang von $\mu_g = 54,0 \%$ bis zu $\mu_g = 54,0 \%$ und eine Verdunstung von $T_v = 1600^\circ \text{ K}$ für Kurventafeln 5 und 6 ablesen, so erhält man:

1.) Wasserstoff:

Die Wasserstoffzusatzmenge bewirkt ebenfalls einen starken Abfall der Verdunstungstemperatur und der Verdunstungstemperatur. Auch μ_g und p_1 zeigen mit steigendem Wasserstoffanteil eine Verringerung der Werte, während $\delta(3000^\circ, 16 \text{ atu})$ ansteigt und zwar im Gegensatz zu den Freibutat-Kombinationen, die von Salpetersäure ausgehen, praktisch linear.

2.) Stickstofftetroxydzusatz:

Stickstofftetroxydzusatz zur Mischsäure bewirkt einen geringen Abfall von $\delta(3000^\circ, 16 \text{ atu})$, während alle anderen in Kurventafel 5

XI	1	04501	50 GRS. 1 HGR 50 GRS. 1 HGR	10 15 10 15
XII	2	04501	50 GRS. 1 HGR 50 GRS. 1 HGR	10 15 10 15
XIII	3	04501	50 GRS. 1 HGR 50 GRS. 1 HGR	10 15 10 15
XIV	4	04501	50 GRS. 1 HGR 50 GRS. 1 HGR	10 15 10 15
XV	5	04501	50 GRS. 1 HGR 50 GRS. 1 HGR	10 15 10 15

Fortsetzung Tabelle 4

Nr.	abzu- lesen aus Kur- ven- blatt	Brenn- stoff	Bezugssauerstoff- träger	Zusatzstoff	Zu- satz Gew. %	von Wa- th	von T_i
XVI	6	Visol 1	Mischsäure 10%ig	Wasser	1	-0,5	-0,8
XVII	6	Visol 1	Mischsäure 10%ig	Wasser	5	-2,2	-4,6
XVIII	6	Visol 1	Mischsäure 10%ig	Wasser	10	-4,6	-9,4
XIX	6	Visol 1	Mischsäure 10%ig	Stickstoff- tetroxyd	1	+0,1	+0,1
XX	6	Visol 1	Mischsäure 10%ig	Stickstoff- tetroxyd	20	+2,0	+3,2
XXI	6	Visol 1	Mischsäure 10%ig	Stickstoff- tetroxyd	40	+3,9	+6,2

Die Tabelle 4 zeigt den prozentualen Abfall oder die prozentuale Zunahme der Ausströmgeschwindigkeit w_{ath} und der Verbrennungstemperatur T_i bei dem betreffenden Zusatz zum Sauerstoffträger. In den Kurvenblättern 7, 8 und 9 ist die prozentuale Änderung der theoretischen Ausströmgeschwindigkeit und der Verbrennungstemperatur als Funktion der Anzahl Gew.% zugesetzten Wassers, zugesetzter Schwefelsäure bzw. zugesetzten Stickstofftetroxyds aufgetragen, wobei die Gew.% auf den Sauerstoffträger bezogen sind.

Kurvenblatt 7:

Prozentuale Änderung der theoretischen Ausströmgeschwindigkeit w_{ath} und der Verbrennungstemperatur T_i beim System Gasöl + Salpetersäure im Abhängigkeit von der Anzahl Gew.% zugesetzten Wassers, Stickstofftetroxyds bzw. zugesetzter Schwefelsäure. ($q = 53,7 \text{ \%}$, $p_i : p_a = 16:1$).

Kurvenblatt 8:

Prozentualer Abfall der theoretischen Ausströmgeschwindigkeit w_{ath} und der Verbrennungstemperatur T_i beim System Gasöl + (50 Gew.% Salpetersäure + 50 Gew.% Stickstofftetroxyd) als Funktion der Anzahl Gew.% zugesetzten Wassers, bzw. zugesetzter Schwefelsäure ($q = 53,6 \text{ \%}$, $p_i : p_a = 16:1$).

Kurvenblatt 9:

Prozentuale Änderung der theoretischen Ausströmgeschwindigkeit w_{ath} und der Verbrennungstemperatur T_i beim System Visol 1 + 10 %ige Mischsäure als Funktion der Anzahl Gew.% zugesetzten Wassers, bzw. Stickstofftetroxyds ($q = 54,0\%$; $p_i : p_a = 16:1$).

Erörterung der Kurvenplättter 7, 8 und 9:

Auch die in den Kurvenblättern 7, 8 und 9 angewandte Darstellungsart zeigt, daß der Abfall der Ausströmgeschwindigkeit bei kleinen Schwefelsäuremengen verhältnismäßig größer ist als bei gleichgroßen Wasserzusätzen. Erst größere Zusätze von Schwefelsäure lassen die Überlegenheit der Schwefelsäure als ein Sauerstoffträger gegenüber dem Wasser erkennen. bemerkenswert ist noch die fast lineare Änderung von ΔT_i bei Wasser- und Schwefelsäurezusätzen, die bei dem System Gasöl + (50 Gew.% Salpetersäure + 50 Gew.% Stickstofftetroxyd) vorgenommen wurden. Fast linear sind ferner noch

$$\Delta w_{ath} = f(\text{Wasserzusatz}) \quad \text{beim System Visol 1 + Mischsäure}$$

$$\Delta w_{ath} = f(\text{Stickstofftetroxydzusatz}) \quad \text{beim System Visol 1 + Mischsäure}$$

$$\Delta w_{ath} = f(\text{Stickstofftetroxydzusatz}) \quad \text{beim System Gasöl + Salpetersäure}$$

$$\Delta T_i = f(\text{Wasser-, bzw. } N_2O_4\text{-Zusatz}) \quad \text{beim System Visol 1 + Mischsäure.}$$

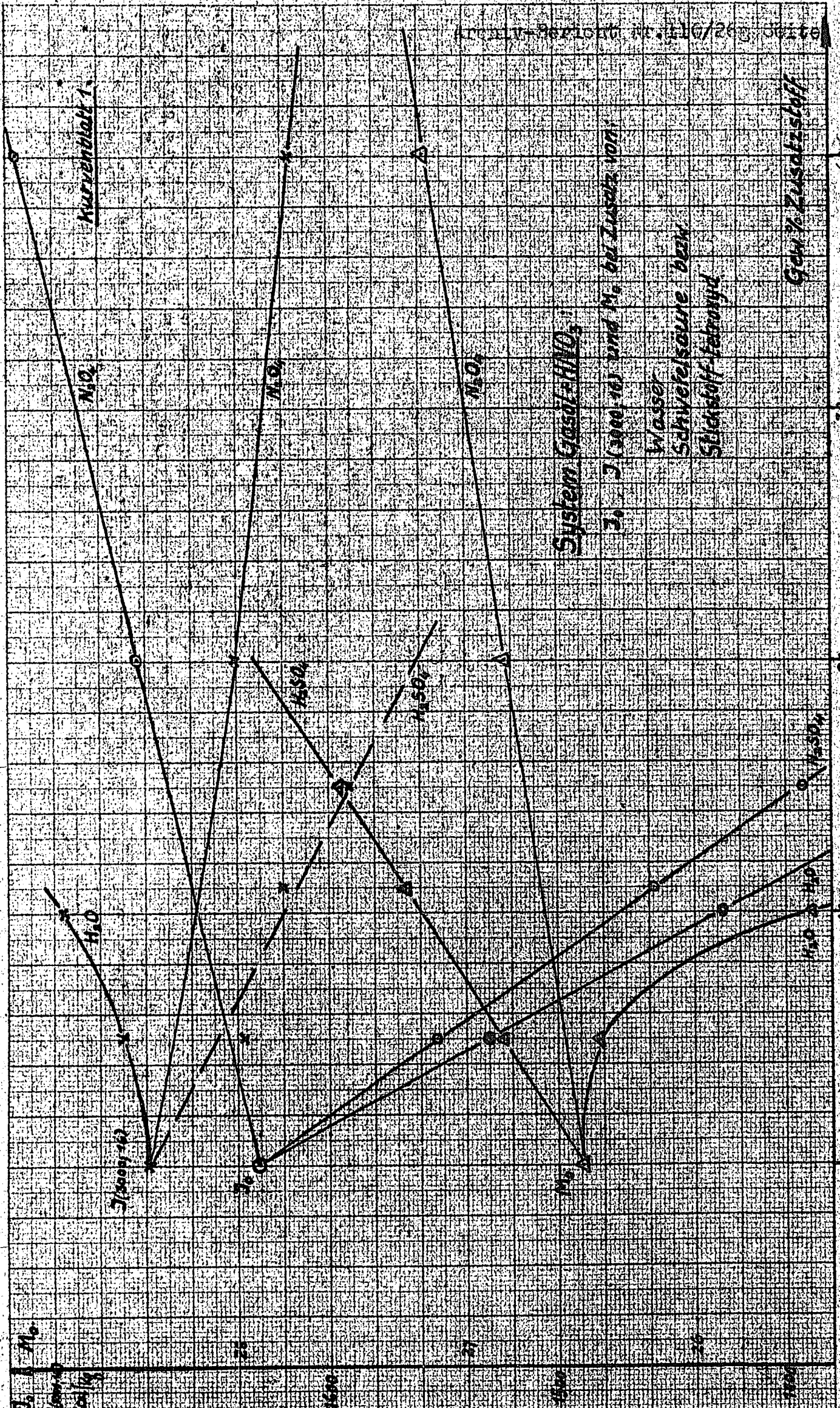
Die Kurvenblätter 7, 8 und 9 eignen sich für Abschätzungen der Änderungen von w_{ath} und T_i bei Wasser-, Schwefelsäure- bzw. Stickstofftetroxydzusätzen.

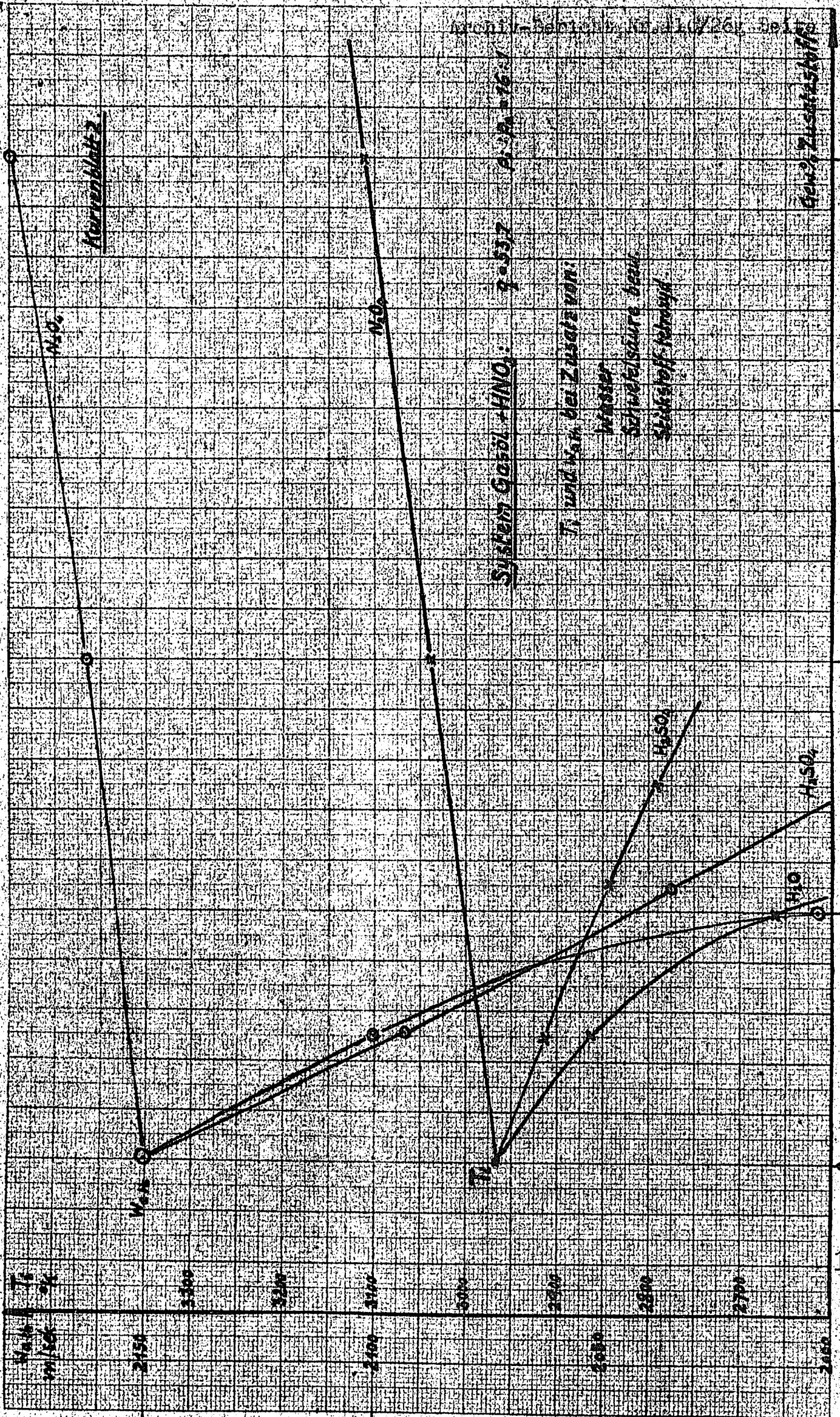
Aus Kurvenblatt 7 entnimmt man z.B. die Tatsache, daß ein Übergang von Salpetersäure zu 10 %iger Mischsäure einen w_{ath} -Abfall von mehr als 4 % bewirkt. Durch genügend großen Stickstofftetroxydzusatz kann dieser Leistungsabfall wieder aufgehoben werden. Aus Kurvenblatt 9 ergibt sich, daß ein Zusatz von 23 Gew.% Stickstofftetroxyd genügt, um den halben Leistungsabfall zu kompensieren. Man wird also der Mischsäure 50 Gew.% Stickstofftetroxyd zusetzen müssen, um die theoretische Ausströmgeschwindigkeit des Systems mit reiner Salpetersäure zu erreichen.

Büchner

Jellay

1312





40

30

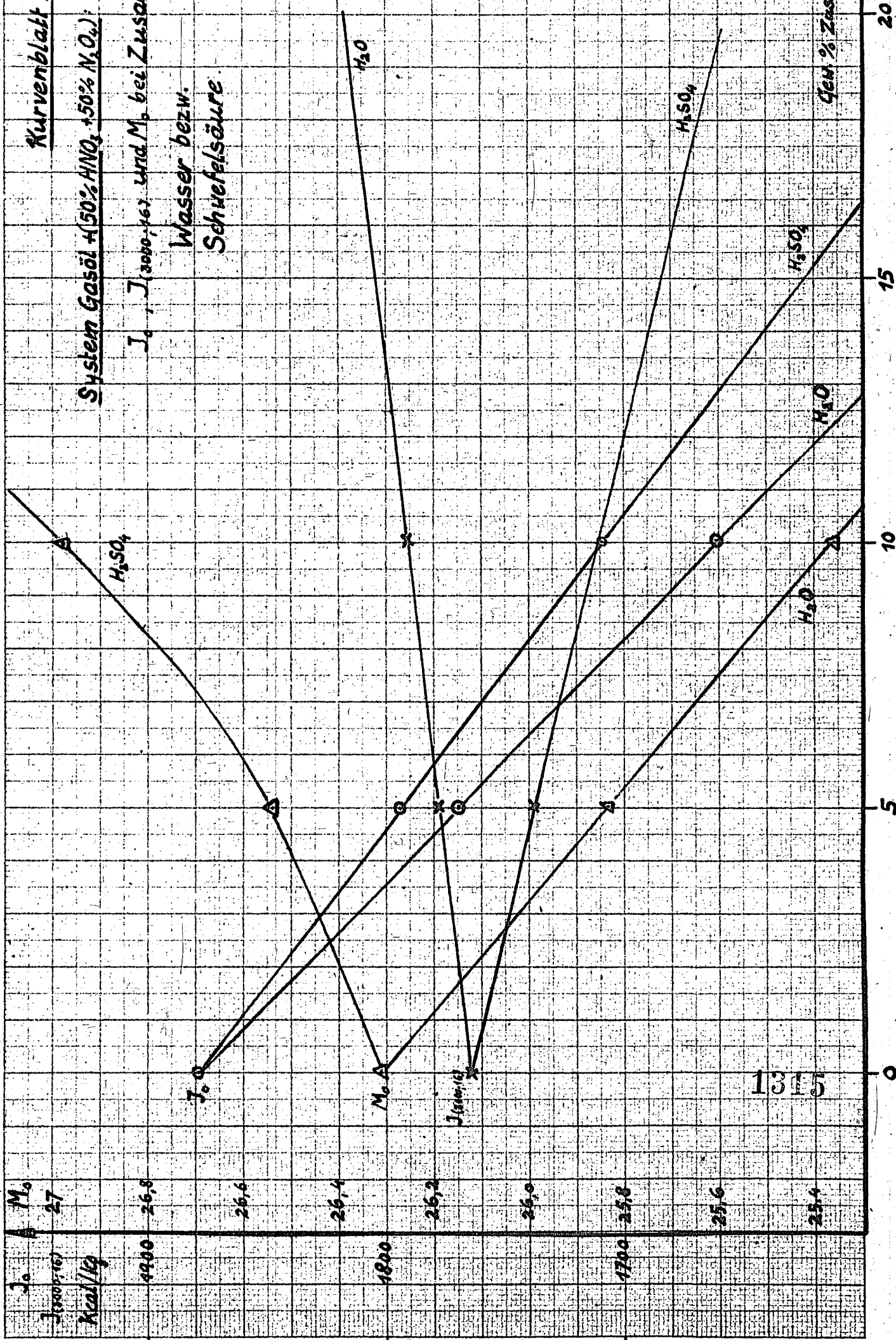
20

10

131

18

Kurvenblatt 3.

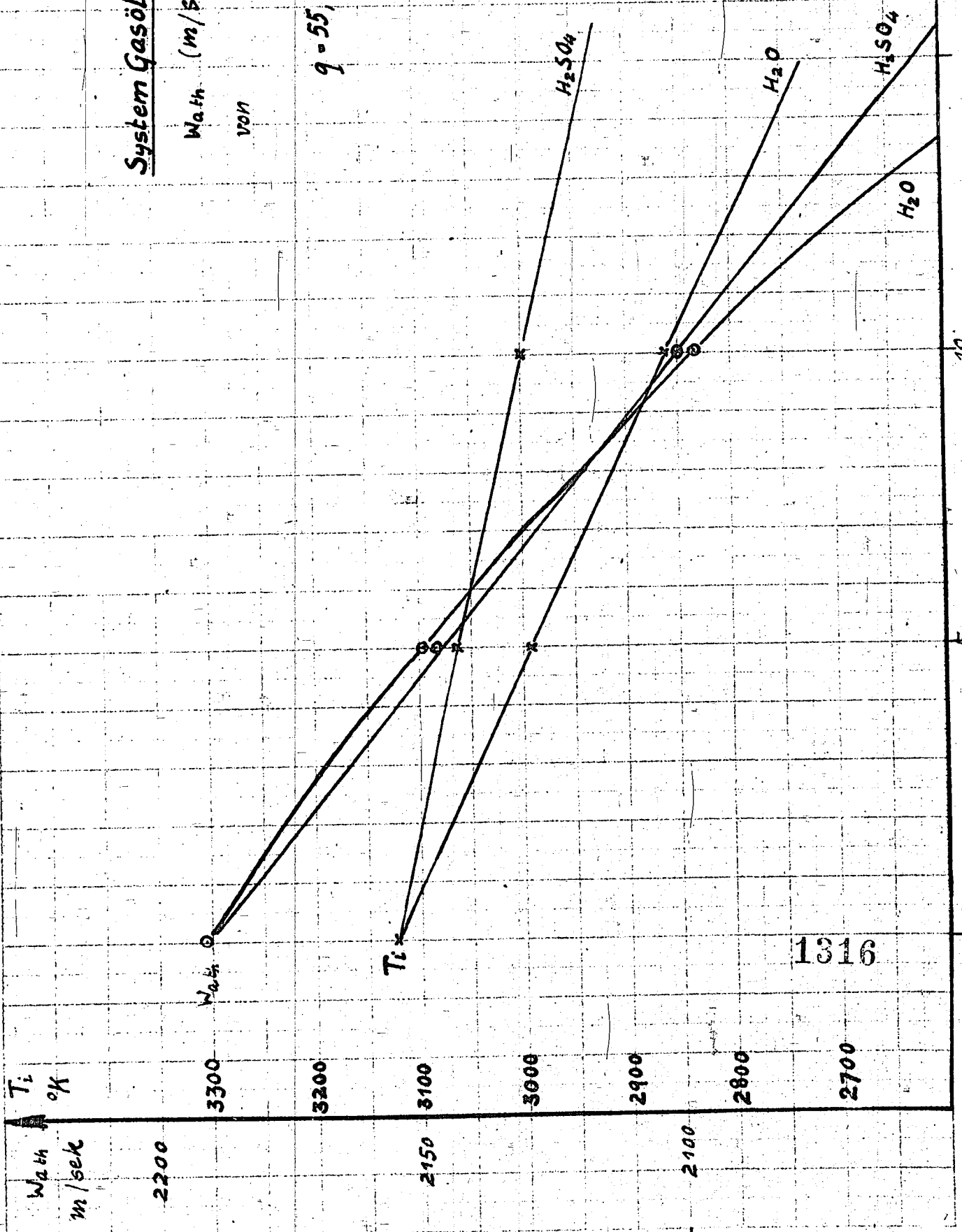
System Gasöl + (50% HNO_3 + 50% N_2O_4): 9 = 55,6% T_c , T_{100} , T_{62} und M_p bei Zusatz vonWasser bzw.
Schwefelsäure.

Kurvenblatt 4.

System Gasöl + (50% HNO_3 + 50% N_2O_2):
Wath (m/sec) und T_i ($^{\circ}K$) bei Zusatz von

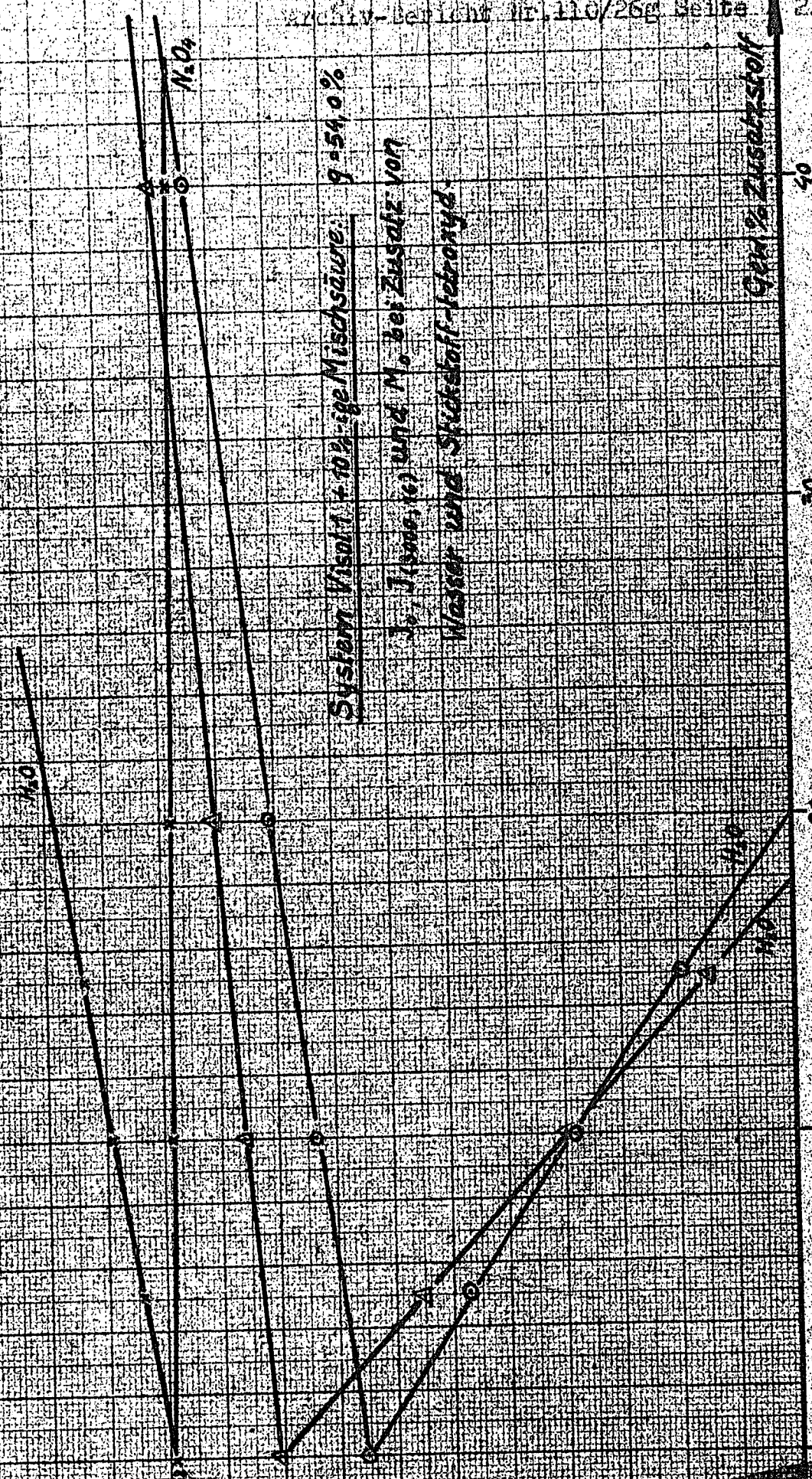
Wasser bzw.
Schwefelsäure.

$$q = 55,6\% ; \rho_i : \rho_a = 16:1$$



Gew. % Zusatzstoff

Kontrollblatt 5.



PURCHASES

100

200

100

200

95

30

9

10

9

318

200 100 200 100

100 200

100 200

200 100 200 100

100 200

200 100 200 100

100 200

200 100 200 100

100 200

200 100 200 100

100 200

200 100 200 100

100 200

200 100 200 100

R

R

R

R

R

R

R

R

R

R

R

R

R

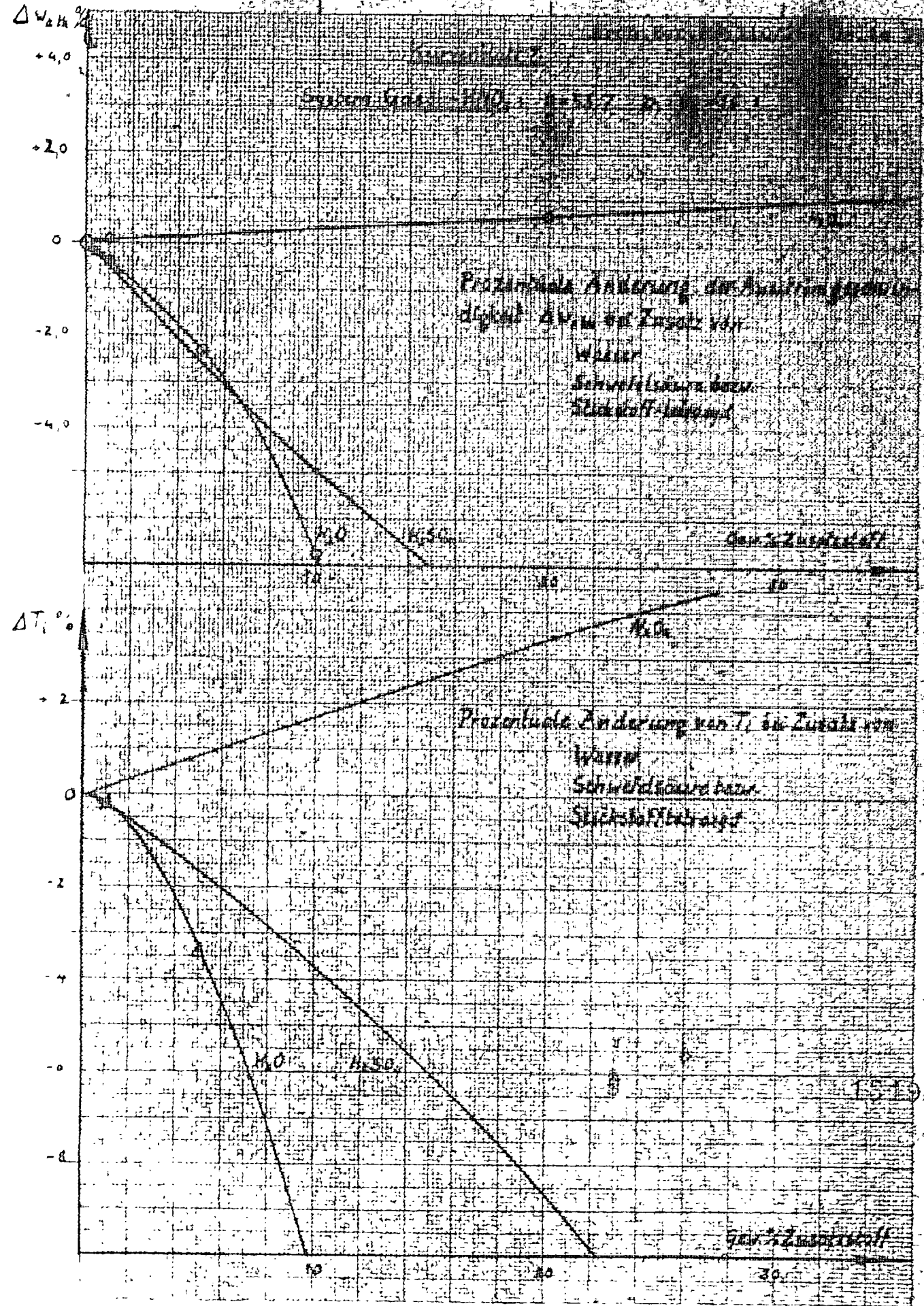
R

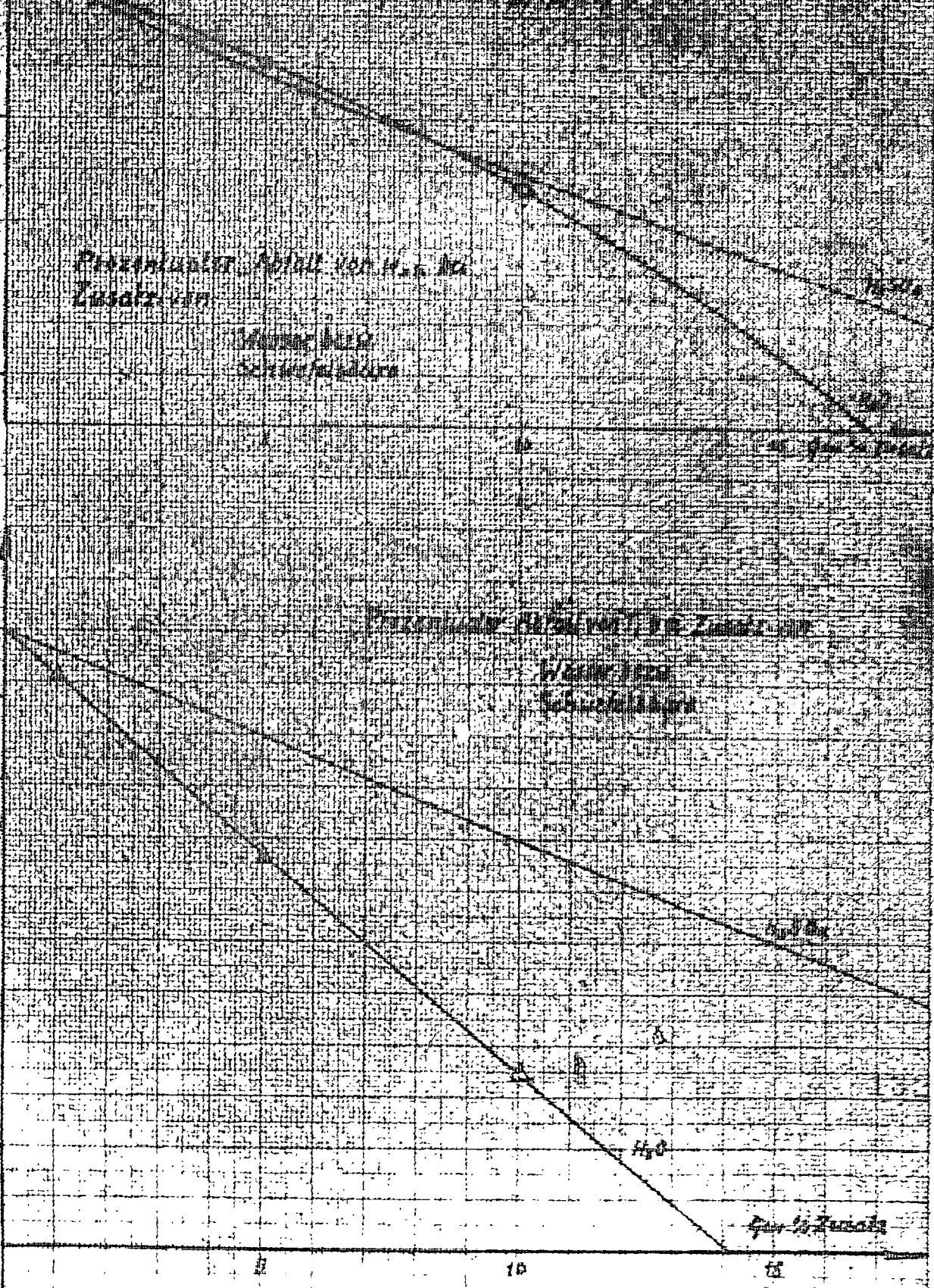
R

R

R

R





AT
24

15

- 90

-2

0

-2

-4

-6

+4

0

-10

1321

Wasser-Gesamt

Stückstoff-Gesamt

Prozentuale Änderung von ΔT_{krit} um

Zusatzstoff

Wasser-Gesamt

Stückstoff-Gesamt

Gew.-% Zusatzstoff

Prozentuale Änderung von T_{krit} bei Zusatz von

Wasser-Gesamt

Stückstoff-Gesamt

N = 42

H₂O

Gew.-% Zusatzstoff

30

10

20